



prof. ing. Ingrid Boem via A. Valerio 6/2 34127 Trieste ingrid.boem@dia.units.it

# ESERCITAZIONE 03 CALCOLO DELLE TRAVI

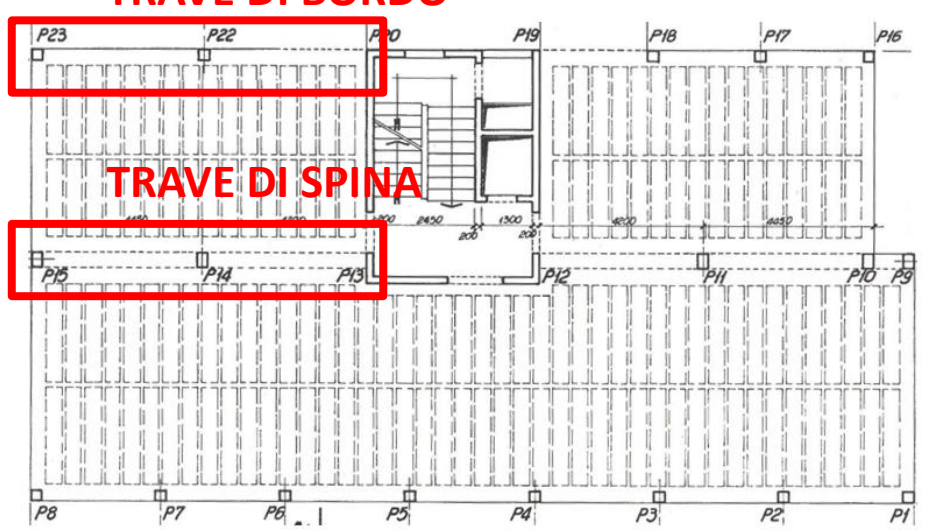
E03

A. A. 2024–2025 Corso di Tecnica delle costruzioni

## ANALISI DELLE SOLLECITAZIONI: COMBINAZIONI DI CARICO

#### tav. 1 PIANTA PIANG TIPO

#### **TRAVE DI BORDO**



Ci si riferisce alla trave di spina TR\_15-13 e alla trave di bordo TR\_23-20, entrambe costituite da due campate di luci pari a 4,45 m e 4,2 m.

#### Dall'analisi dei carichi sui solai di interpiano:

		. [		
-	Permanenti strutturali (solaio in laterocemento 24+5)	G <sub>1</sub>	3,30	kN/m <sup>2</sup>
-	Permanenti non strutturali	$G_2$	2,86	kN/m <sup>2</sup>
	(massetto 0,56 + pavimento 0,40	+intonaco	0,30 +tram	ezzi ripartiti 1,60 kN/m²)
_	Accidentali	$Q_k$	2,00	kN/m <sup>2</sup>
	(carico di affollamento)			





I carichi per metro lineare di trave sono, pertanto:

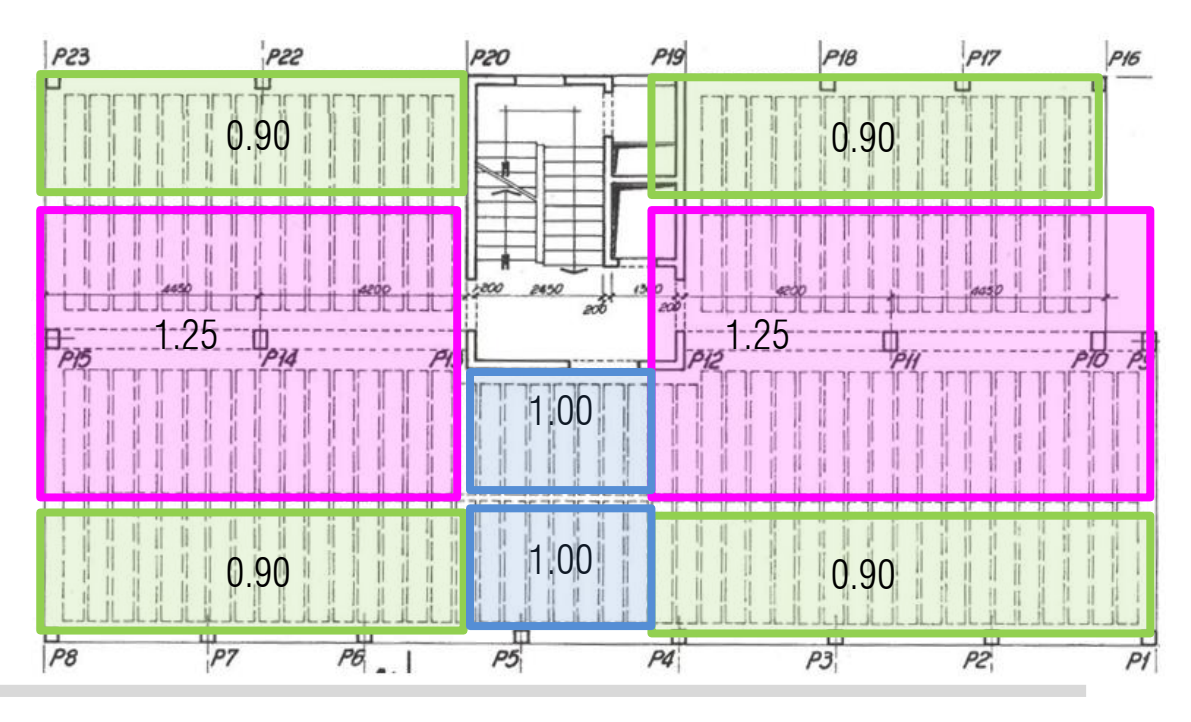
#### TRAVE DI SPINA

- $g_{k1}$  3,30 kN/m<sup>2\*</sup>(5,20/2 + 6,00/2)m\*1,25 = 23,10 kN/m
- $g_{k2} = 2,86 \text{kN/m}^2 * (5,20/2 + 6,00/2) \text{m}^* 1,25 = 20,03 \text{ kN/m}^2$
- $q_{1k} 2,00kN/m^2*(5,20/2 + 6,00/2)m*1,25 = 14,00 kN/m$

#### TRAVE DI BORDO

- $g_{k1}$  3,30 kN/m<sup>2</sup>\*(5,20/2)m\*0,90 = 7,73 kN/m
- $g_{k2} = 2.86 \text{kN/m}^2 * (5.20/2) \text{m} * 0.90 = 6.70 \text{ kN/m}$
- $q_{1k}$  2,00kN/m<sup>2</sup> \*(5,20/2)m\*0,90 = 4,68 kN/m

Analogamente a quanto fatto per i pilastri, anche per il predimensionamento delle travi si può eseguire un procedimento approssimato che si basa sulla scomposizione della pianta d'impalcato in aree di influenza.



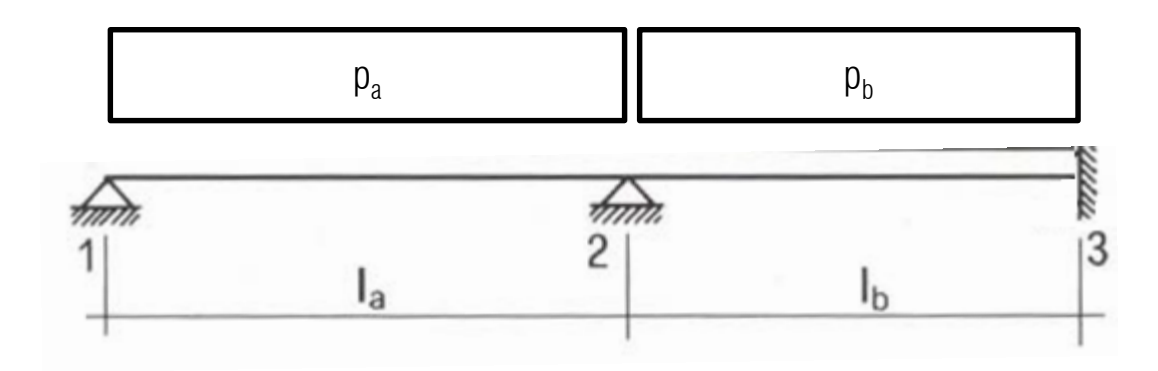




Una trave può essere schematizzata tramite un'asta vincolata in corrispondenza dei pilastri o delle pareti di controvento.

La scelta del tipo di vincolo dipende dalla rigidezza torsionale di queste due tipologie di elementi strutturali verticali: in genere, per semplicità, si adotta un vincolo di appoggio in corrispondenza delle travi e un vincolo di incastro per i setti.

Per la trave in esame: si è ipotizzato il seguente schema statico (trave a due campate semplicemente appoggiata in corrispondenza dei pilastri e incastrata in corrispondenza del setto di controvento).



Nelle travi, come nei solai, per trovare le massime sollecitazioni a momento e a taglio, è pertanto necessario considerare diverse <u>combinazioni di carico</u>, per tenere in conto che l'entità dei carichi può risultare variata da una campata all'altra rispetto al valore calcolato.

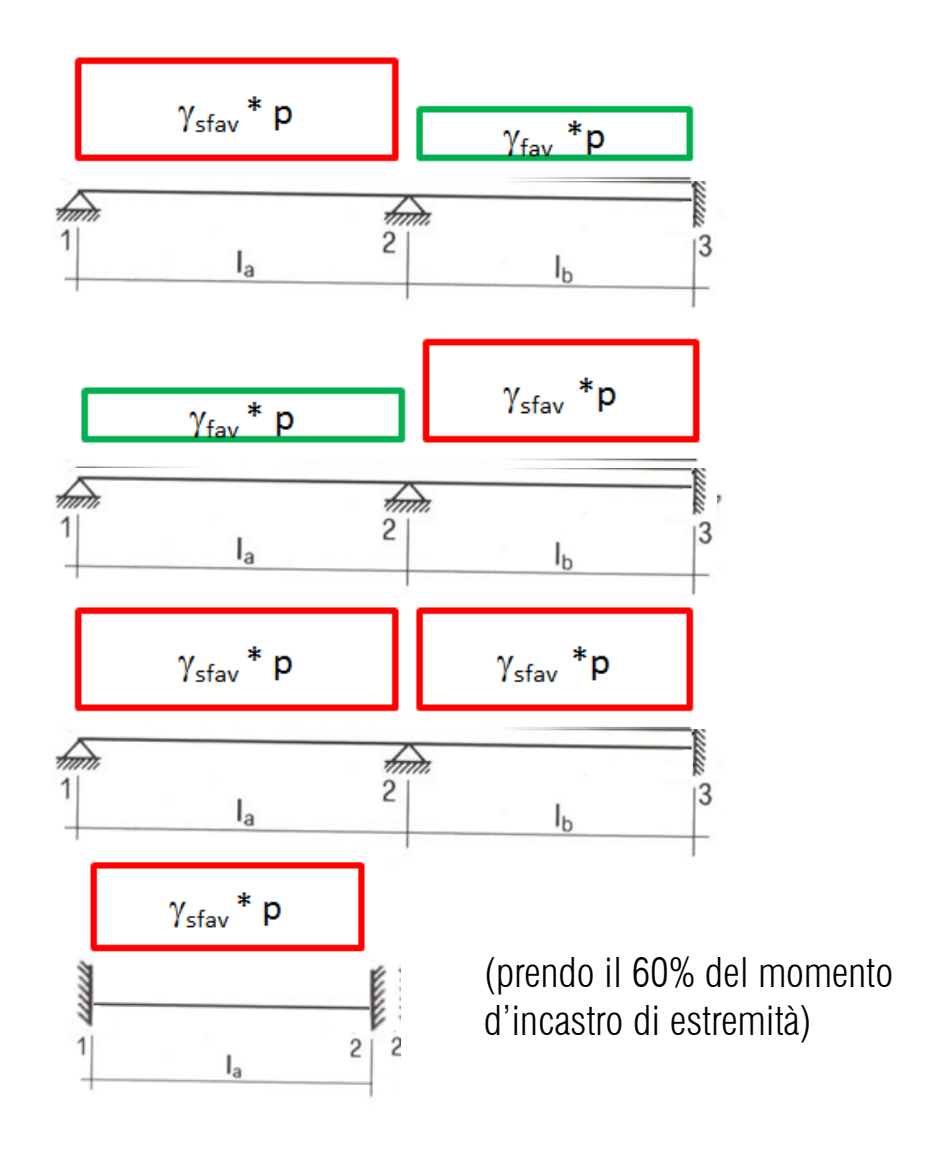
Questa variabilità dei carichi rispetto al valore calcolato viene tenuta in conto attraverso del coefficienti amplificativi  $(\gamma_{stav})$  e riduttivi  $(\gamma_{fav})$  (sono gli stessi visti per i solai).



#### Combinazioni di carico:

- COMBINAZIONE 1
   (per massimizzare il momento in campata a)
- COMBINAZIONE 2 (per massimizzare il momento in campata b)
- COMBINAZIONE 3
   (per massimizzare il momento all'appoggio 2)
- COMBINAZIONE 4

(solo per l'estremità appoggiata, per massimizzare il momento all'appoggio 1)







#### **ALLO STATO LIMITE ULTIMO**

Per la trave di spina si ha pertanto che:

$$\begin{split} \pmb{\gamma_{\text{sfav}}}^{\bullet} & = \gamma_{\text{sfav,G1}}^{\bullet} {}^{\bullet} g_{1} + \gamma_{\text{sfav,G2}}^{\bullet} {}^{\bullet} g_{2} + \gamma_{\text{sfav,Qk}}^{\bullet} {}^{\bullet} q_{k} \\ & = 1,30^{*}23,10 \text{ kN/m} + 1,50^{*}20,03 \text{ kN/m} + 1,50^{*}14,00 \text{ kN/m} \\ & = 30,03 \text{ kN/m} + 30,05 \text{ kN/m} + 21,00 \text{ kN/m} \\ & = 81,08 \text{ kN/m} \\ \pmb{\gamma_{\text{fav}}}^{\bullet} & p = \gamma_{\text{fav,G1}}^{\bullet} {}^{\bullet} g_{1} + \gamma_{\text{fav,G2}}^{\bullet} {}^{\bullet} g_{2} + \gamma_{\text{fav,Qk}}^{\bullet} {}^{\bullet} q_{k} \\ & = 1,00^{*}23,10 \text{ kN/m} + 0,80^{*}20,03 \text{ kN/m} + 0,00^{*}14,00 \text{ kN/m} \\ & = 23,10 \text{ kN/m} + 16,20 \text{ kN/m} + 0,00 \text{ kN/m} \\ & = 39,12 \text{ kN/m} \end{split}$$

Per la trave di bordo si ha pertanto che:

$$\begin{split} \pmb{\gamma_{\text{sfav}}}^{\bullet} & = \gamma_{\text{sfav},\text{G1}}^{\bullet} \mathbf{g}_{1} + \gamma_{\text{sfav},\text{G2}}^{\bullet} \mathbf{g}_{2} + \gamma_{\text{sfav},\text{Qk}}^{\bullet} \mathbf{q}_{k} \\ & = 1,30^{*}7,73 \text{ kN/m} + 1,50^{*}6,70 \text{ kN/m} + 1,50^{*}4,68 \text{ kN/m} \\ & = 10,05 \text{ kN/m} + 10,04 \text{ kN/m} + 7,02 \text{ kN/m} \\ & = 27,12 \text{ kN/m} \\ \pmb{\gamma_{\text{fav}}}^{\bullet} & \mathbf{p} = \gamma_{\text{fav},\text{G1}}^{\bullet} \mathbf{g}_{1} + \gamma_{\text{fav},\text{G2}}^{\bullet} \mathbf{g}_{2} + \gamma_{\text{fav},\text{Qk}}^{\bullet} \mathbf{q}_{k} \\ & = 1,00^{*}7,73 \text{ kN/m} + 0,80^{*}6,70 \text{ kN/m} + 0,00^{*}4,68 \text{ kN/m} \\ & = 7,73 \text{ kN/m} + 5,36 \text{ kN/m} + 0,00 \text{ kN/m} \\ & = 13.09 \text{ kN/m} \end{split}$$



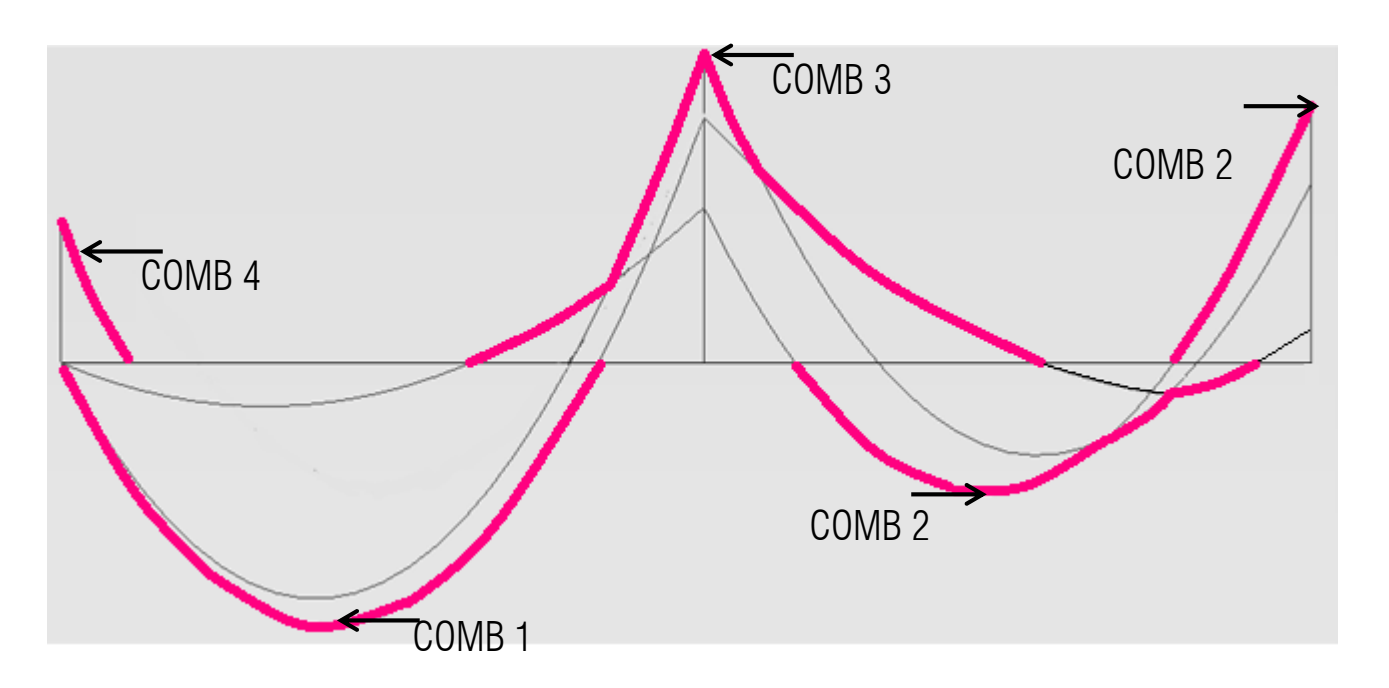


## MOMENTI - Trave di spina TR\_15-13

	M <sup>-</sup> max,1	M+ <sub>max,a</sub>	M <sup>-</sup> max,2	M <sup>+</sup> max,b	M <sup>-</sup> max,3
COMB 1	0,0	136,2	-141,3	19,3	-15,6
COMB 2	0,0	51,04	-106.1	63,0	-125.7
COMB 3	0,0	125,9	-166,9	49,4	-95,3
COMB 4	-80,3	/	/	/	/

## MOMENTI - Trave di bordo TR\_23-20

M- <sub>max,1</sub>	M+ <sub>max,a</sub>	M <sup>-</sup> max,2	M+ <sub>max,b</sub>	M- <sub>max,3</sub>
0,0	45.6	-47,3	6,4	-5.2
0,0	17,1	-35,5	21,1	-42,1
0,0	42,1	-55,8	16,5	-31,9
-26,9	/	/	/	/



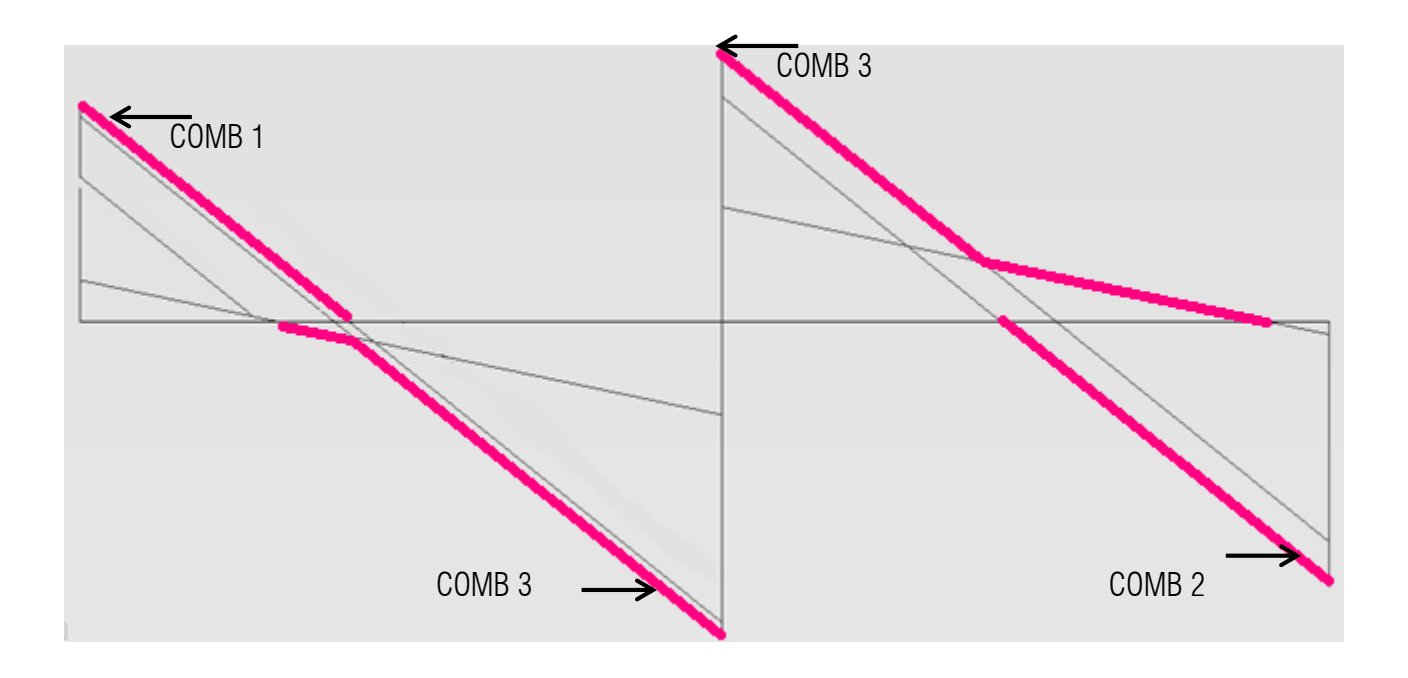


TRAVI - Trave di spina TR\_15-13

	V <sub>1</sub>	V <sub>2(a)</sub>	V <sub>2(b)</sub>	V <sub>3</sub>
COMB 1	148,6	-212,2	112,1	-52,2
COMB 2	63,2	-110.9	165.6	-174,9
COMB 3	142,9	-217,9	187,3	-153,2
COMB 4	108,2	/	/	/

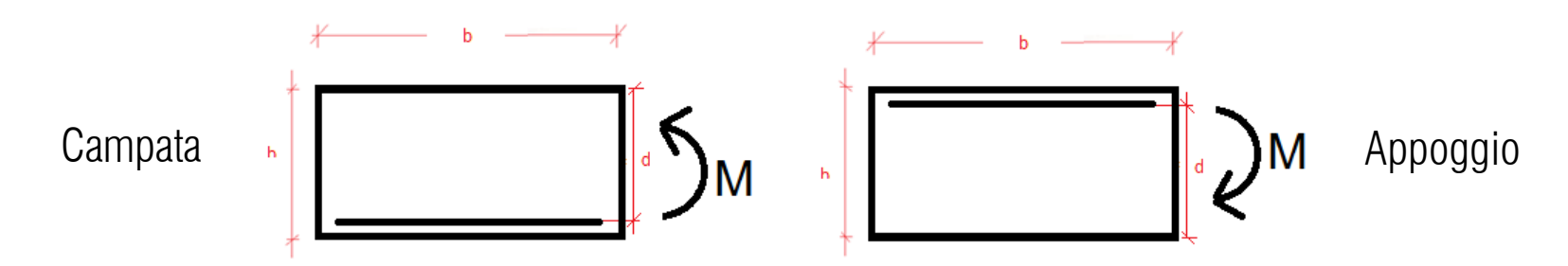
TRAVI - Trave di bordo TR\_23-20

V <sub>1</sub>	V <sub>2(a)</sub>	V <sub>2(b)</sub>	$V_3$
49.7	-71,0	37,5	-17,5
21,2	-37,1	55,4	-58,5
47,8	-72,9	62,7	-51,3
36,2	/	/	/





#### **DIMENSIONAMENTO**



Note le sollecitazioni, è necessario stabilire le dimensioni della sezione delle travi e dimensionare l'armatura tesa A<sub>s</sub>, attraverso le equazioni

**PER LE TRAVI DI SPINA**, se in spessore di solaio, le incognite sono  $A_s$  e la larghezza della sezione **b** (l'altezza è fissata pari allo spessore del solaio strutturale).

La larghezza delle travi in spessore di solaio per campate fino a 5-6 m varia, mediamente, da 700 a 1000 mm Per l'esempio in esame, ipotizzo b = 750 mm

PER LE TRAVI DI BORDO, le incognite sono  $A_s$  e l'altezza della sezione h (la larghezza è fissata pari a quella dei pilastri perimetrali).

Per l'esempio in esame, ipotizzo h = 300 mm





#### Trave di spina TR 15-13

Campata A 
$$A_{s,min} = \frac{136200000 \ N \cdot mm}{0.9 \cdot 243 \ mm \cdot 391 \ MPa} = 1592,8 \ mm^2$$
  
con **8 $\phi$ 18** si ha  $A_s^* = 8 \cdot \left(\frac{\pi \cdot 18^2}{4}\right) = 2035,8 > 1592,8 \ mm^2$ 

Campata B 
$$A_{s,min} = \frac{63000000 \text{ N} \cdot mm}{0.9 \cdot 243 \text{ mm} \cdot 391 \text{ MPa}} = 736,7 \text{ mm}^2$$
  
con **5\phi18** si ha  $A_s^* = 5 \cdot \left(\frac{\pi \cdot 18^2}{4}\right) = 1272,3 \text{ mm}^2 > 736,7 \text{ mm}^2$ 

Арроддіо 2 
$$A_{s,min} = \frac{166900000 \ N \cdot mm}{0.9 \cdot 243 \ mm \cdot 391 \ MPa} = 1951,8 \ mm^2$$
 con **10ф18** si ha  $A_s^* = 10 \cdot \left(\frac{\pi \cdot 18^2}{4}\right) = 2544,7 \ mm^2 > 1951,8 \ mm^2$ 

Appoggio 1 
$$A_{s,min} = \frac{80300000 \ N \cdot mm}{0.9 \cdot 243 \ mm \cdot 391 \ MPa} = 938.8 \ mm^2$$
  
con **5\phi18** si ha  $A_s^* = 5 \cdot \left(\frac{\pi \cdot 18^2}{4}\right) = 1272.3 \ mm^2 > 938.8 \ mm^2$ 

Арроддіо 3 
$$A_{s,min} = \frac{125700000 \ N \cdot mm}{0.9 \cdot 243 \ mm \cdot 391 \ MPa} = 1470,0 \ mm^2$$
 con  $9 \phi 18$  si ha  $A_s^* = 9 \cdot \left(\frac{\pi \cdot 18^2}{4}\right) = 2290,2 \ mm^2 > 1470,0 \ mm^2$ 

OSS. d sarà pari all'altezza del solaio strutturale (240+50 mm) diminuita del copriferro netto (30 mm), del diametro delle staffe (8mm) del raggio delle armature (9 mm)





#### Trave di bordo TR 23-20

Campata A 
$$A_{s,min}=rac{45600000\ N\cdot mm}{0.9\cdot 253\ mm\cdot 391\ MPa}=511,8\ mm^2$$
 con  $3\phi 18$  si ha  $A_s^{\ *}=3\cdot \left(rac{\pi\cdot 18^2}{4}\right)=763,4\ mm^2>511,8\ mm^2$ 

Campata B 
$$A_{s,min} = \frac{21100000 \ N \cdot mm}{0.9 \cdot 253 \ mm \cdot 391 \ MPa} = 236,7 \ mm^2$$
  
 $\cot 2\phi 18 \ \text{si ha} \ A_s^* = 2 \cdot \left(\frac{\pi \cdot 18^2}{4}\right) = 508,9 \ mm^2 > 236,7 \ mm^2$ 

Appoggio 2 
$$A_{s,min} = \frac{55800000 \, N \cdot mm}{0.9 \cdot 253 \, mm \cdot 391 \, MPa} = 626,1 \, mm^2$$
  
 $\cot 3\phi 18 \, \sin ha \, A_s^* = 3 \cdot \left(\frac{\pi \cdot 18^2}{4}\right) = 763,4 mm^2 > 626,1 \, mm^2$ 

Appoggio 1 
$$A_{s,min} = \frac{269000000 \, N \cdot mm}{0.9 \cdot 253 \, mm \cdot 391 \, MPa} = 301.6 \, mm^2$$
  
 $\cot 2\phi 18 \, \sin ha \, A_s^* = 2 \cdot \left(\frac{\pi \cdot 18^2}{4}\right) = 508.9 \, mm^2 > 301.6 \, mm^2$ 

Appoggio 3 
$$A_{s,min} = \frac{42100000 \ N \cdot mm}{0.9 \cdot 253 \ mm \cdot 391 \ MPa} = 472,3 \ mm^2$$
  
con 3 $\phi$ 18 si ha  $A_s^* = 3 \cdot \left(\frac{\pi \cdot 18^2}{4}\right) = 763,4 \ mm^2 > 472,3 \ mm^2$ 

OSS. d sarà pari all'altezza della trave (ipotizzo 300mm) diminuita del copriferro netto (30 mm), del diametro delle staffe (8mm) del raggio delle armature (9 mm)





#### **VERIFICHE SLU - Flessione**

Bisogna verificare che i momenti resistenti  $M_{Rd}$  relativi alle armature scelte siano superiori ai momenti sollecitanti  $M_{Sd}$ :

$$M_{Rd} = A_s^* \cdot 0.9 \cdot d \cdot f_{yd} > M_{Sd}$$

Trave di spina TR 15-13

Campata A 
$$M_{Rd} = 2035,8 \ mm^2 \cdot 0,9 \cdot 243 \ mm \cdot 391 \ MPa = 174080618 \ N \cdot mm$$
  $= 174,1 \ kN \cdot m > 136,2 \ kN \cdot m$   $\checkmark$  VERIFICATO

Campata B  $M_{Rd} = 1272,3 \ mm^2 \cdot 0,9 \cdot 243 \ mm \cdot 391 \ MPa = 108800386 \ N \cdot mm$   $= 108,8 \ kN \cdot m > 63,0 \ kN \cdot m$   $\checkmark$  VERIFICATO

Appoggio 2  $M_{Rd} = 2544,7 \ mm^2 \cdot 0,9 \cdot 243 \ mm \cdot 391 \ MPa = 217600772 \ N \cdot mm$   $= 217,6 \ kN \cdot m > 166,90 \ kN \cdot m$   $\checkmark$  VERIFICATO

Appoggio 1  $M_{Rd} = 1272,3 \ mm^2 \cdot 0,9 \cdot 243 \ mm \cdot 391 \ MPa = 108800386 \ N \cdot mm$   $= 108,8 \ kN \cdot m > 80,3 \ kN \cdot m$   $\checkmark$  VERIFICATO

Appoggio 3  $M_{Rd} = 2290,2 \ mm^2 \cdot 0,9 \cdot 243 \ mm \cdot 391 \ MPa = 195840695 \ N \cdot mm$   $= 195,8 \ kN \cdot m > 125,70 \ kN \cdot m$   $\checkmark$  VERIFICATO





Bisogna inoltre verificare che il collasso avvenga con l'armatura tesa snervata (collasso duttile). La verifica può essere effettuata verificando che

$$\omega_s = \frac{f_{yd} \cdot A_s^*}{f_{cd} \cdot b \cdot d} < \overline{\omega}_s = 0,52$$

#### Trave di spina TR 15-13

Campata A 
$$\omega_S = \frac{391 \, MPa \cdot 2035.8 \, mm^2}{14.17 \, MPa \cdot 750 \, mm \cdot 243 \, mm} = 0.31 < \overline{\omega}_S = 0.52$$
 **VERIFICATO**

Campata B 
$$\omega_s = \frac{391 \, MPa \cdot 1272,3 \, mm^2}{14.17 \, MPa \cdot 750 \, mm \cdot 243 \, mm} = 0,19 < \overline{\omega}_s = 0,52$$
 **VERIFICATO**

Appoggio 2 
$$\omega_s = \frac{391 \, MPa \cdot 2544,7 \, mm^2}{14,17 \, MPa \cdot 750 \, mm \cdot 243 \, mm} = 0,39 < \overline{\omega}_s = 0,52$$
 ✓ VERIFICATO

Appoggio 1 
$$\omega_S = \frac{391 \, MPa \cdot 1272,3 \, mm^2}{14,17 \, MPa \cdot 750 \, mm \cdot 243 \, mm} = 0,19 < \overline{\omega}_S = 0,52$$
 ✓ VERIFICATO

Appoggio 3 
$$\omega_s = \frac{391 \, MPa \cdot 2290,2 \, mm^2}{14,17 \, MPa \cdot 750 \, mm \cdot 243 \, mm} = 0,35 < \overline{\omega}_s = 0,52$$
 ✓ VERIFICATO



#### Trave di bordo TR\_23-20

Campata A 
$$M_{Rd} = 763,4 \ mm^2 \cdot 0,9 \cdot 253 \ mm \cdot 391 \ MPa = 67966661 \ N \cdot mm$$
 68, 0 kN ·  $m > 45,6 \ kN \cdot m$   $\checkmark$  VERIFICATO

$$\omega_S = \frac{391 \, MPa \cdot 763,4 \, mm^2}{14,17 \, MPa \cdot 300 \, mm \cdot 253 \, mm} = 0,28 < \overline{\omega}_S = 0,52$$
  $\checkmark$  VERIFICATO

Campata B 
$$M_{Rd} = 508,9 \ mm^2 \cdot 0,9 \cdot 253 \ mm \cdot 391 \ MPa = 45311107 \ N \cdot mm = 45,3 \ kN \cdot m > 21,1 \ kN \cdot m$$
  $\checkmark$  VERIFICATO

$$\omega_s = \frac{391 \, MPa \cdot 508.9 \, mm^2}{14,17 \, MPa \cdot 300 \, mm \cdot 253 \, mm} = 0.19 < \overline{\omega}_s = 0.52$$
  $\checkmark$  VERIFICATO

Appoggio 2 
$$M_{Rd} = 763.4 \ mm^2 \cdot 0.9 \cdot 253 \ mm \cdot 391 \ MPa = 67966661 N \cdot mm = 68,0 \ kN \cdot m > 55,8 \ kN \cdot m$$
  $\checkmark$  VERIFICATO

$$\omega_S = \frac{391 \, MPa \cdot 763,4mm^2}{14.17 \, MPa \cdot 300 \, mm \cdot 253 \, mm} = 0,28 < \overline{\omega}_S = 0,52$$
  $\checkmark$  VERIFICATO

Appoggio 1 
$$M_{Rd} = 508.9 \ mm^2 \cdot 0.9 \cdot 253 \ mm \cdot 391 \ MPa = 45311107 \ N \cdot mm = 45.3 \ kN \cdot m > 26.9 \ kN \cdot m$$
  $\checkmark$  VERIFICATO

$$\omega_s = \frac{391 \, MPa \cdot 508,9mm^2}{14,17 \, MPa \cdot 300 \, mm \cdot 253 \, mm} = 0,19 < \overline{\omega}_s = 0,52$$
 \(\neq \text{VERIFICATO}

Approggio 3 
$$M_{Rd} = 763.4 \ mm^2 \cdot 0.9 \cdot 253 \ mm \cdot 391 \ MPa = 67966661 N \cdot mm = 68.0 \ kN \cdot m > 42.1 \ kN \cdot m$$
  $\checkmark$  VERIFICATO

$$\omega_{s} = \frac{391 \, MPa \cdot 763,4 \, mm^{2}}{14.17 \, MPa \cdot 300 \, mm \cdot 253 \, mm} = 0,28 < \overline{\omega}_{s} = 0,52$$
  $\checkmark$  VERIFICATO

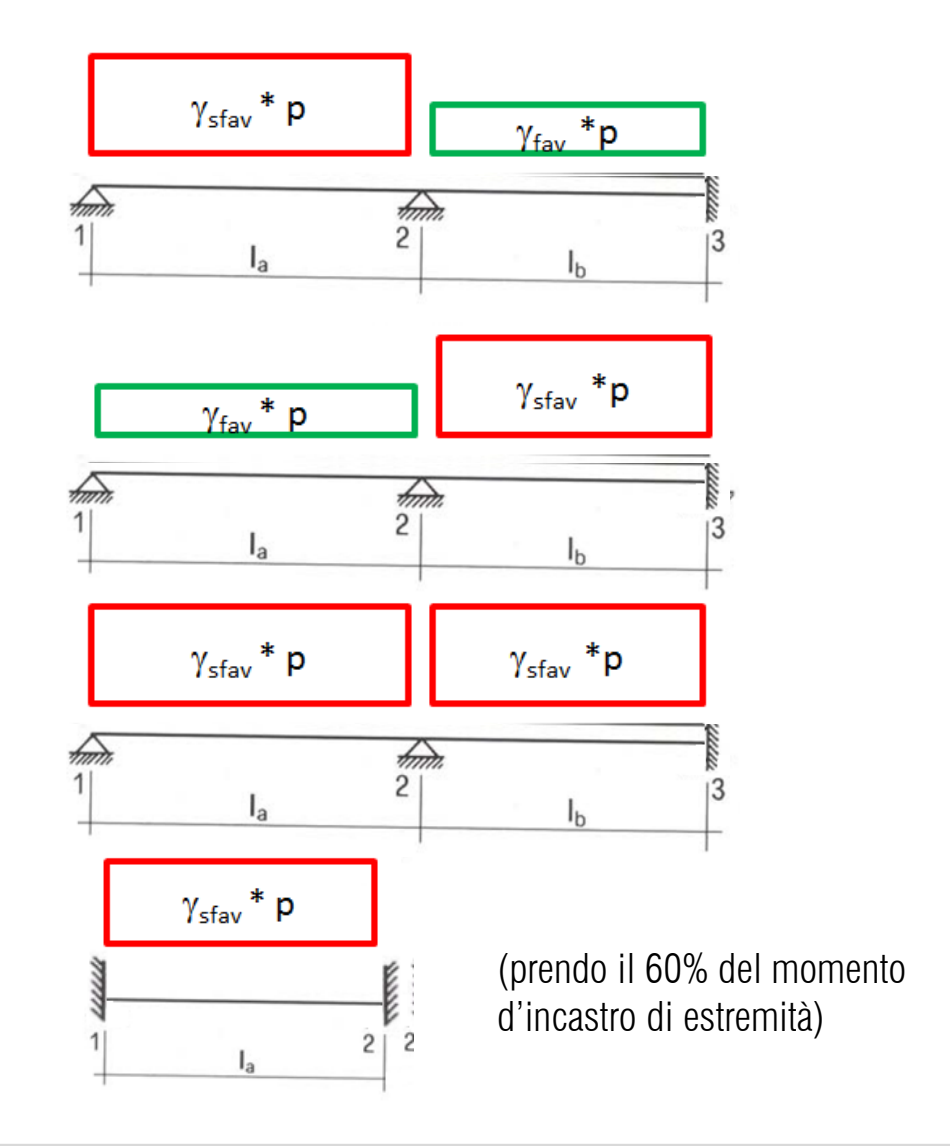




### COMBINAZIONI DI CARICO SLE

- COMBINAZIONE 1
   (per massimizzare il momento in campata a)
- COMBINAZIONE 2 (per massimizzare il momento in campata b)
- COMBINAZIONE 3
   (per massimizzare il momento all'appoggio 2)
- COMBINAZIONE 4

(solo per estremità appoggiata, per massimizzare il momento all'appoggio 1)







#### ALLO STATO LIMITE DI ESERCIZIO

Per la trave di spina si ha pertanto che:

$$\begin{split} \pmb{\gamma_{\text{sfav}}}^{\bullet} & = \gamma_{\text{sfav,G1}}^{} {}^{*}g_{1} + \gamma_{\text{sfav,G2}}^{} {}^{*}g_{2} + \gamma_{\text{sfav,Qk}}^{} {}^{*}q_{k} \\ & = 1,00^{*}23,10 \text{ kN/m} + 1,00^{*}20,03 \text{ kN/m} + 1,00^{*}14,00 \text{ kN/m} \\ & = 23,10 \text{ kN/m} + 20,03 \text{ kN/m} + 14,00 \text{ kN/m} \\ & = 57,13 \text{ kN/m} \\ \pmb{\gamma_{\text{fav}}}^{\bullet} & p = \gamma_{\text{fav,G1}}^{} {}^{*}g_{1} + \gamma_{\text{fav,G2}}^{} {}^{*}g_{2} + \gamma_{\text{fav,Qk}}^{} {}^{*}q_{k} \\ & = 1,00^{*}23,10 \text{ kN/m} + 0,80^{*}20,03 \text{ kN/m} + 0,00^{*}14,00 \text{ kN/m} \\ & = 23,10 \text{ kN/m} + 16.02 \text{ kN/m} + 0,00 \text{ kN/m} \\ & = 39,12 \text{ kN/m} \end{split}$$

Per la trave di bordo si ha pertanto che:

$$\gamma_{sfav}^* p = \gamma_{sfav,G1}^* g_1 + \gamma_{sfav,G2}^* g_2 + \gamma_{sfav,Qk}^* q_k$$

$$= 1,00^* 7,73 \text{ kN/m} + 1,00^* 6,70 \text{ kN/m} + 1,00^* 4,68 \text{ kN/m}$$

$$= 7,73 \text{ kN/m} + 6,70 \text{ kN/m} + 4,68 \text{ kN/m}$$

$$= 19,11 \text{ kN/m}$$

$$\gamma_{fav}^* p = \gamma_{fav,G1}^* g_1 + \gamma_{fav,G2}^* g_2 + \gamma_{fav,Qk}^* q_k$$

$$= 1,00^* 7,73 \text{ kN/m} + 0,00^* 6,70 \text{ kN/m} + 0,00^* 4,68 \text{ kN/m}$$

$$= 7,73 \text{ kN/m} + 0,00 \text{ kN/m} + 0,00 \text{ kN/m}$$

$$= 7,73 \text{ kN/m} + 5,36 \text{ kN/m} + 0,00 \text{ kN/m}$$

$$= 13,09 \text{ kN/m}$$

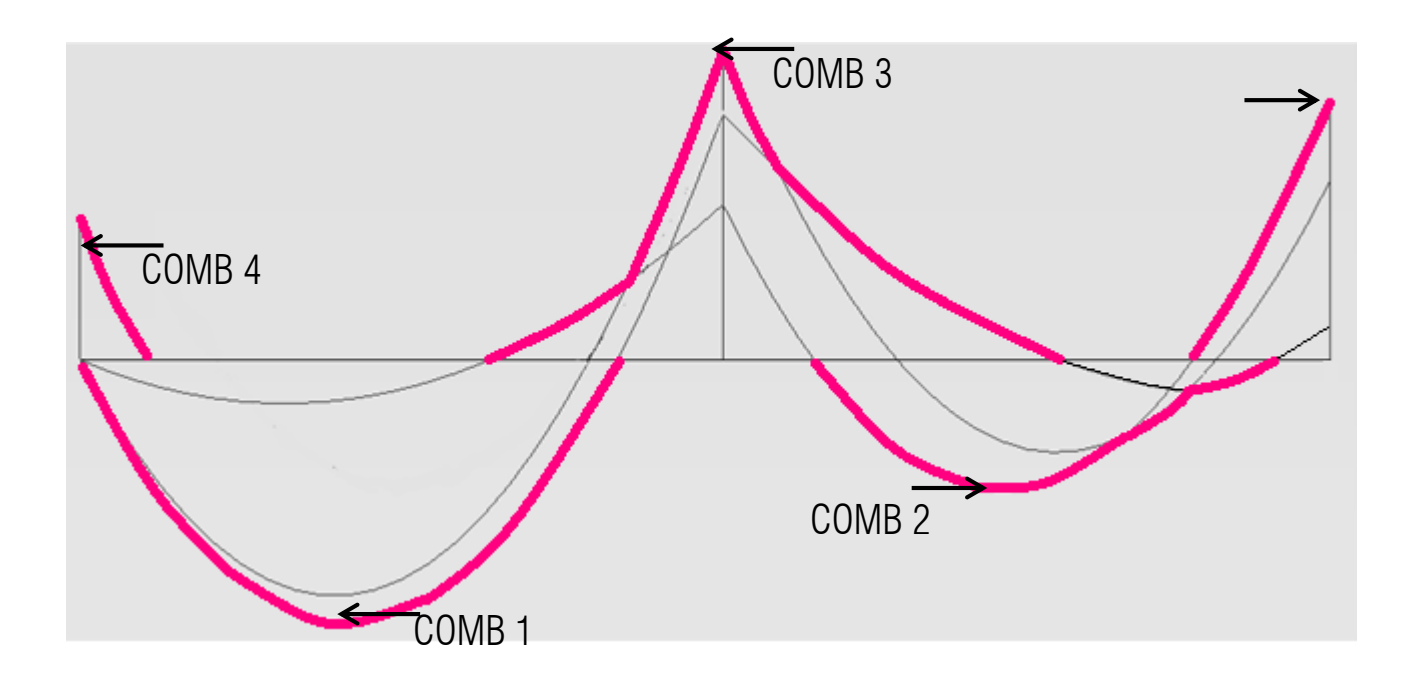


## MOMENTI - Trave di spina TR\_15-13

	M <sup>-</sup> max,1	M+ <sub>max,a</sub>	M <sup>-</sup> max,2	M <sup>+</sup> max,b	M <sup>-</sup> max,3
COMB 1	0,0	93,1	-106,6	20,4	-32,9
COMB 2	0,0	56,5	-91,5	40,2	-80,2
COMB 3	0,0	88,7	-117,6	34,9	-67,2
COMB 4	-56,6	/	/	/	/

## MOMENTI - Trave di bordo TR\_23-20

M <sup>-</sup> max,1	M <sup>+</sup> max,a	M <sup>-</sup> max,2	M+ <sub>max,b</sub>	M <sup>-</sup> max,3
0,0	31,1	-35,7	6,8	-11,0
0,0	18,9	-30,6	13,4	-26,8
0,0	29,7	-39,3	11,7	22,5
-18,9	/	/	/	/





## **VERIFICHE SLE - Tensioni**

#### **VERIFICA DELLE TENSIONI MASSIME:**

- di compressione, nel cls compresso

- di trazione, nell'armatura tesa

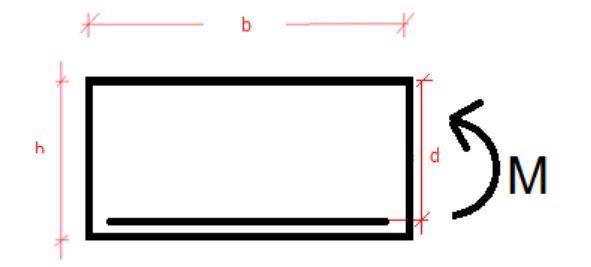
$$\sigma_c = \frac{2M}{bxz}$$
 < 0,60 f<sub>ck</sub> = 15 MPa

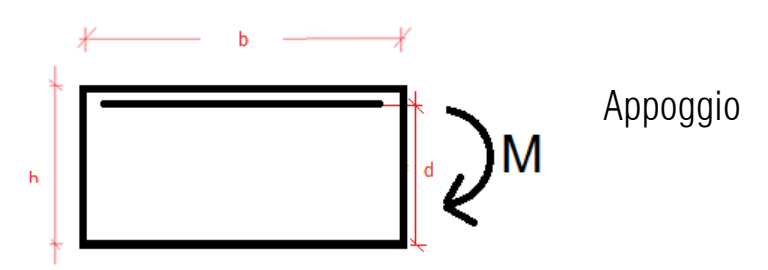
$$\sigma_{\scriptscriptstyle S} = rac{M}{A_{\scriptscriptstyle S} \; z} \;\;$$
  $<$  0,80 f $_{\scriptscriptstyle {
m yk}} =$  360 MPa

$$Con \quad z = d - \frac{x}{3} \quad e \ con$$

Con 
$$z = d - \frac{x}{3}$$
 e con  $x = \frac{\alpha_e A_s}{b} \left\{ -1 + \sqrt{1 + \frac{2bd}{\alpha_e A_s}} \right\} \alpha_e = 15$ )

Campata







# Trave di spina TR\_15-13

	M [kN·m]	A <sub>S</sub> [mm²]	b [mm]	x [mm]	z [mm]	<b>σ</b> <sub>c</sub> [MPa]	< 15 MPa?	σ <sub>S</sub> [MPa]	< 360 MPa?
CAMPATA A	93,1	2035,8	750	105,7	207,8	11,30	<b>✓</b>	220,1	✓
CAMPATA B	40,2	1272,3	750	88,6	213,5	5,67	✓	148,0	<b>✓</b>
APPOGGIO 1	56,6	1272,3	750	88,6	213,5	7,97	✓	208,3	<b>✓</b>
APPOGGIO 2	117,6	2544,7	750	114,4	204,9	13,38	✓	225,6	<b>✓</b>
APPOGGIO 3	80,2	2290,2	750	110,3	206,2	9,40	✓	169,8	✓

## Trave di bordo TR\_23-20

CAMPATA A	31,1	763,4	300	106,0	217,7	8,99	✓	187,1	✓
CAMPATA B	13,4	508,9	300	90,8	222,7	4,42	✓	118,2	✓
APPOGGIO 1	18,9	508,9	300	90,8	222,7	6,23	✓	166,7	✓
APPOGGIO 2	39,3	763,4	300	106,0	217,7	11,36	✓	236,5	✓
APPOGGIO 3	26,8	763,4	300	106,0	217,7	7,75	✓	161,3	✓





## VERIFICHE SLE — Fessurazione (indiretta)

La verifica a fessurazione può essere eseguita indirettamente controllando che il diametro delle armature tese e la loro spaziatura non superino determinati limiti.

Tali limiti dipendono dallo <u>stato tensionale</u> delle armature in condizione <u>di esercizio</u> e dall'<u>apertura massima delle</u> <u>fessure</u> consentita (w).

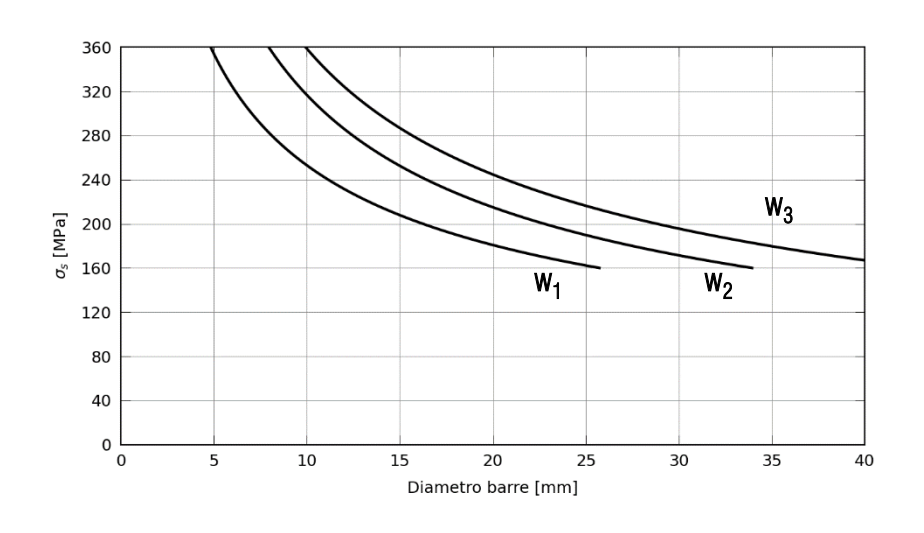
L'apertura massima delle fessure dipende dalle condizioni ambientali cui è esposta la struttura e dalla tipologia di armatura (NTC 2018, §4.1.2.2.4).

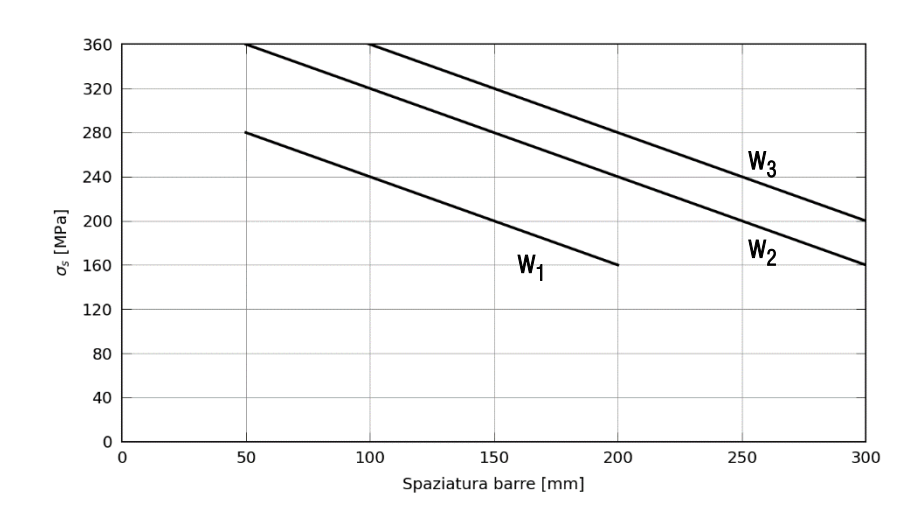
Per l'edificio in esempio:

- Condizioni ambientali ordinarie (XC1-XC2-XC3);
- Armature poco sensibili (acciaio ordinario).



$$w_3 = 0.4 \text{ mm}$$



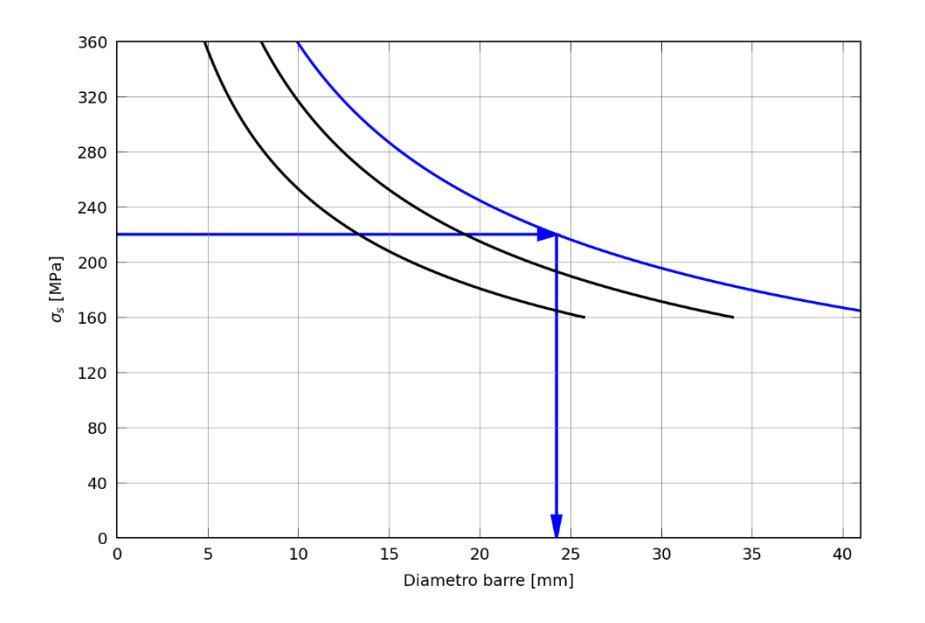


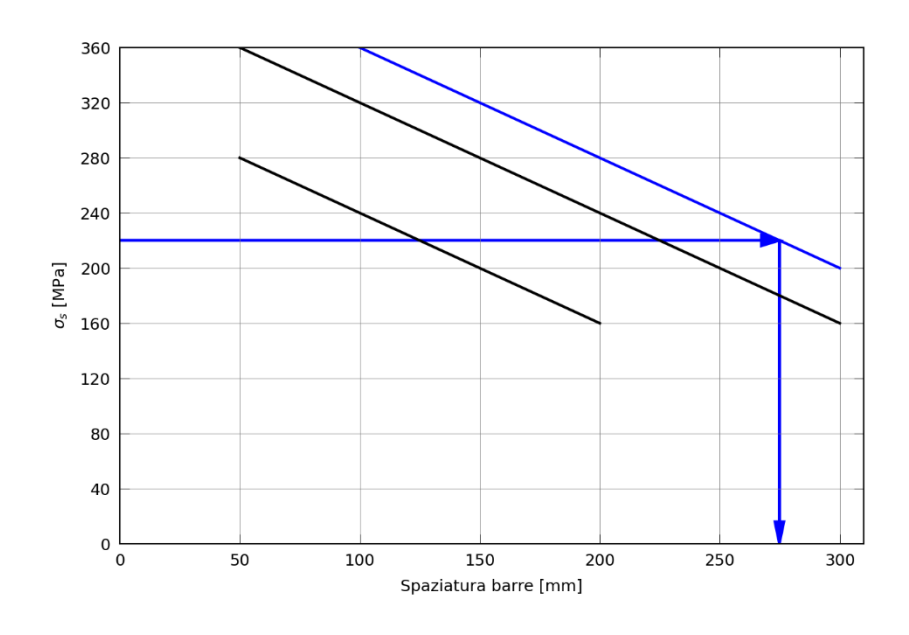


## TRAVE DI SPINA, CAMPATA A

$$8$$
φ18,  $σ_s = 220$ ,1 MPa

spaziatura barre i = 
$$(b-2\cdot(c+\phi_{st}+\phi_{long}/2))/(n\phi-1)=(750-2\cdot(30+8+18/2))/(8-1)=94$$
 mm





φ18 < φ24 e 94 mm < 270 mm ✓ VERIFICATO

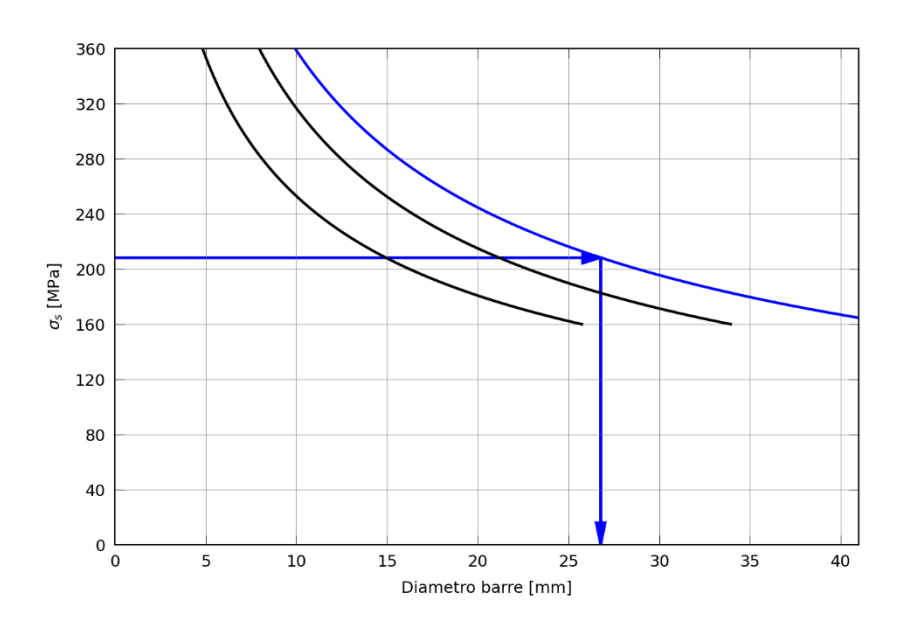


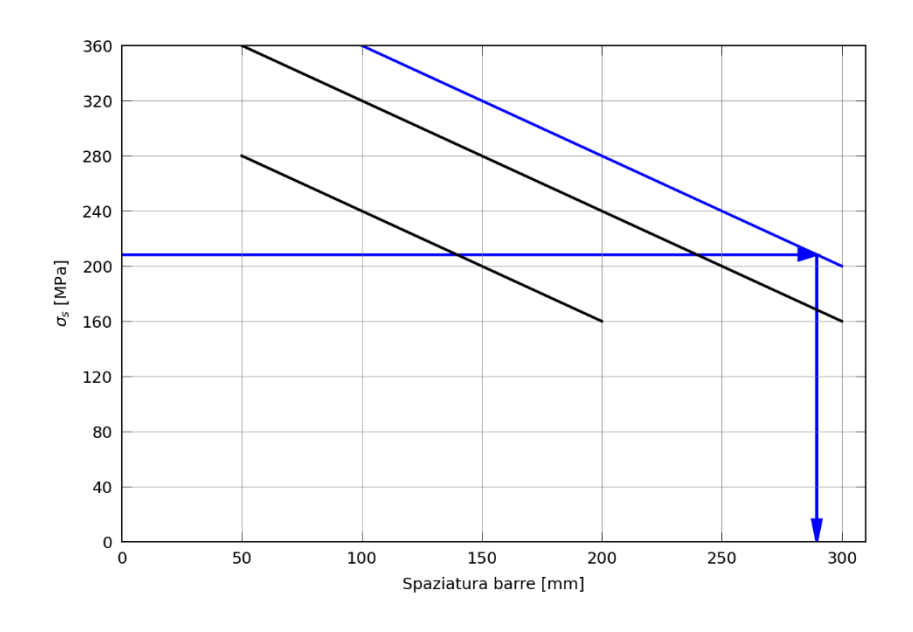


## TRAVE DI SPINA, APPOGGIO 1

$$5$$
ф $18$ ,  $\sigma_{s} = 208,3$  MPa

spaziatura barre i = 
$$(b-2\cdot(c+\varphi_{st}+\varphi_{long}/2))/(n\varphi-1)=(750-2\cdot(30+8+18/2))/(5-1)=164$$
 mm





φ18 < φ26 e 164 mm < 280 mm ✓ VERIFICATO

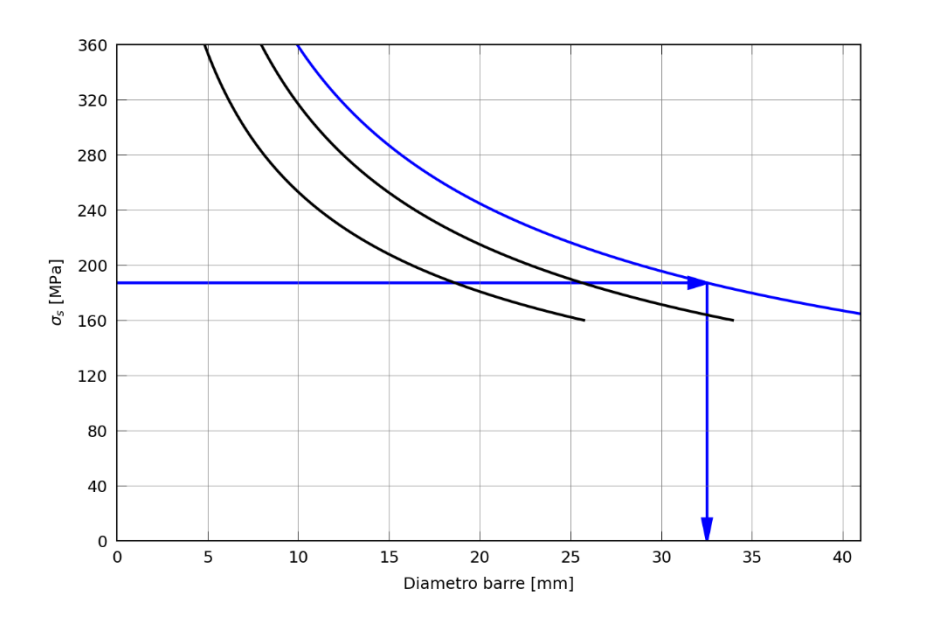


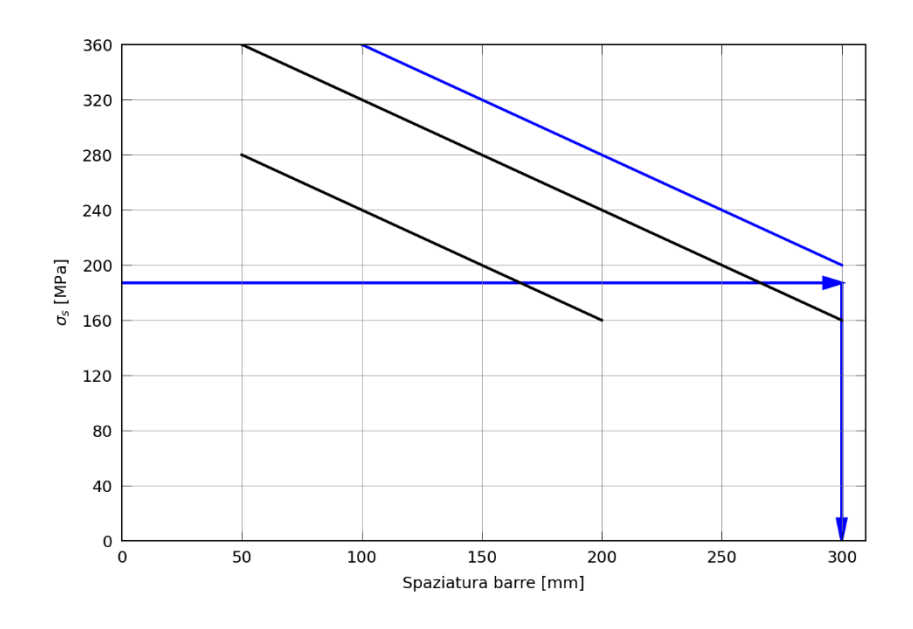


## TRAVE DI BORDO, CAMPATA A

$$3$$
ф $18$ ,  $\sigma_s = 187,1$  MPa

spaziatura barre i =  $(b-2\cdot(c+\varphi_{st}+\varphi_{long}/2))/(n\varphi-1)=(300-2\cdot(30+8+18/2))/(3-1)=103$  mm





φ18 < φ32 e 103 mm < 300 mm ✓ VERIFICATO

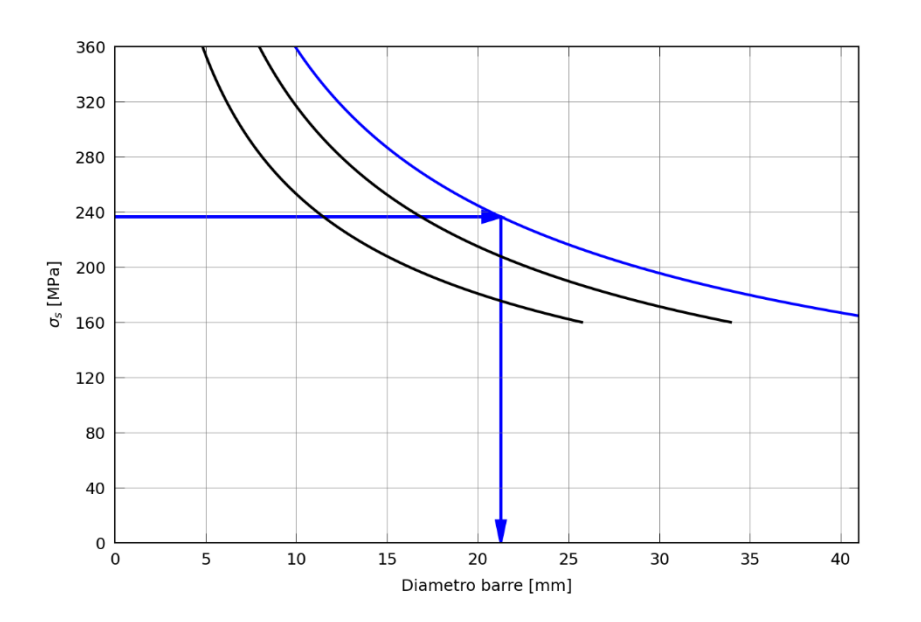


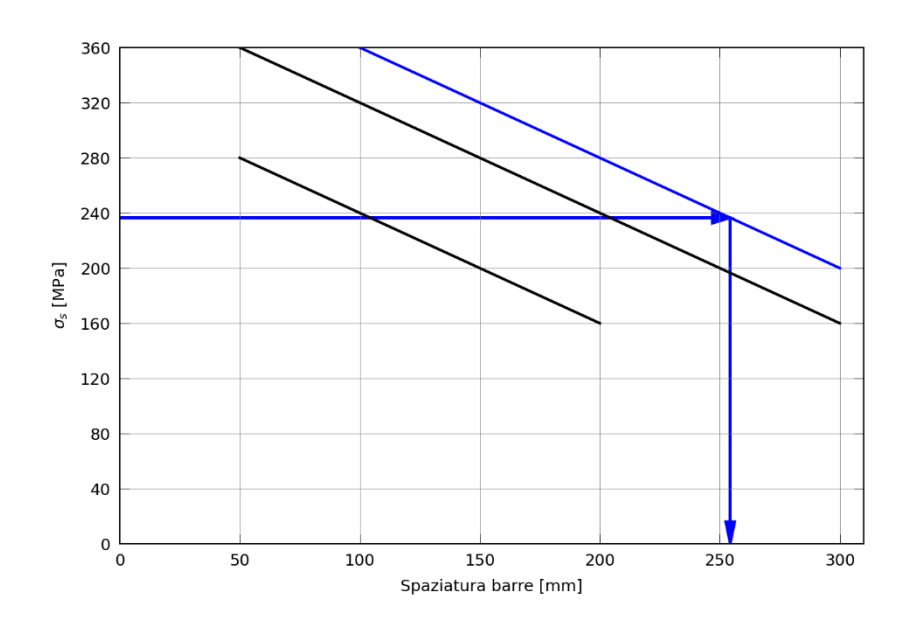


## TRAVE DI BORDO, APPOGGIO 2

$$3$$
ф $18$ ,  $\sigma_{\rm s} = 236,5$  MPa

spaziatura barre i = 
$$(b-2\cdot(c+\varphi_{st}+\varphi_{long}/2))/(n\varphi-1)=(300-2\cdot(30+8+18/2))/(3-1)=103$$
 mm





φ18 < φ21 e 103 mm < 250 mm ✓ VERIFICATO





# Trave di spina TR\_15-13

	Armatura tesa	<b>σ</b> <sub>S</sub> [MPa]	φ [mm]	φ <sub>max</sub> [mm]	φ≤φ <sub>max</sub> ?	i [mm]	i <sub>max</sub> [mm]	φ≤φ <sub>max</sub> ?
CAMPATA A	8ф18	220,1	18	24	<b>✓</b>	94	270	✓
CAMPATA B	5ф18	148,0	18	40	✓	164	300	✓
APPOGGIO 1	5ф18	208,3	18	26	✓	164	280	✓
APPOGGIO 2	10ф18	225,6	18	23	✓	73	260	✓
APPOGGIO 3	9ф18	169,8	18	38	<b>✓</b>	82	300	✓

# Trave di bordo TR\_23-20

CAMPATA A	3ф18	187,1	18	32	<b>✓</b>	103	300	✓
CAMPATA B	2ф18	118,2	18	40	<b>✓</b>	206	300	✓
APPOGGIO 1	2ф18	166,7	18	38	<b>✓</b>	206	300	✓
APPOGGIO 2	3ф18	236,5	18	21	✓	103	250	✓
APPOGGIO 3	3ф18	161,3	18	38	✓	103	300	✓





## **VERIFICHE SLE** — Deformazione (indiretta)

Per luci fino a 10m la verifica di deformazione può essere eseguita indirettamente controllando che il rapporto tra luce altezza (I/h) non superi un determinato limite.

Il secondo termine tra parentesi quadre può essere assunto unitario.

$$\frac{1}{h} \le K \left[ 11 + \frac{0.0015 \, f_{ck}}{\rho + \rho'} \right] \cdot \left[ \frac{500 \, A_{s,eff}}{f_{vk} A_{s,calc}} \right]$$

Sistema strutturale	K	Calcestruzzo molto sollecitato ρ=1,5%	Calcestruzzo poco sollecitato ρ=0,5%
Travi semplicemente appoggiate, piastre incernierate mono o bidirezionali	1,0	14	20
Campate terminali di travi continue o piastre continue monodirezionali o bidirezionali continue sul lato maggiore	1,3	18	26
Campate intermedie di travi continue o piastre continue mono o bidirezionali	1,5	20	30
Piastre non nervate sostenute da pilastri (snellezza relativa alla luce maggiore)	1,2	17	24



# Trave di spina TR\_15-13

	A <sub>s</sub> [mm <sup>2</sup> ]	$\rho_s = \frac{A_s}{(bd)}$ [%]	(I/h) <sub>max</sub>	l [mm]	h [mm]	(l/h)	(I/h)≤(I/h) <sub>max</sub> ?
CAMPATA A	2035,8	1,12	18	4450	290	15,3	✓
CAMPATA B	1272,3	0,70	18	4200	290	14,5	✓

# Trave di bordo TR\_23-20

	A <sub>s</sub> [mm²]	$\rho_{s} = \frac{A_{s}}{(bd)}$ [%]	(l/h) <sub>max</sub>	l [mm]	h [mm]	(l/h)	(I/h)≤(I/h) <sub>max</sub> ?
CAMPATA A	763,4	1,01	18	4450	300	14,8	✓
CAMPATA B	508,9	0,67	18	4200	300	14,0	✓



# VERIFICHE SLU - Taglio

Resistenza a "taglio-trazione" staffe

$$V_{Rsd} = \frac{A_{sw}}{s} z f_{yd} \sin \alpha \left( ctg\alpha + ctg\theta \right)$$

Resistenza a "taglio-compressione" cls

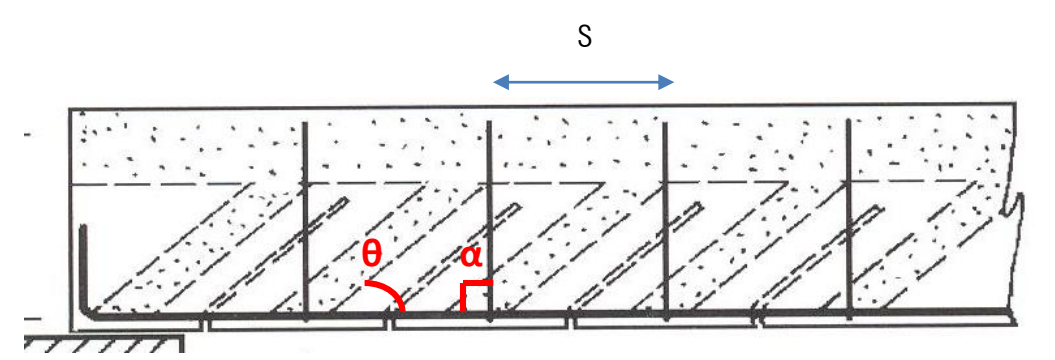
$$V_{Rcd} = b z f_{c2} \sin^2 \theta (ctg\alpha + ctg\theta)$$

α è l'inclinazione delle armature trasversali a taglio

θ è l'inclinazione dei puntoni di calcestruzzo compressi

$$f_{c2} \sim 0.5 f_{cd}$$
  
z = 0.9 d

Ipotizzando staffe disposte perpendicolarmente rispetto all'asse della trave ( $\alpha=90^{\circ}$ ), ricordando che  $\sin^2 \vartheta = \frac{1}{1+ctg^2\vartheta}$ 



$$\Rightarrow V_{Rsd} = \frac{A_{sw}}{s} z f_{yd} ctg \theta$$

$$\Rightarrow V_{Rcd} = b z 0.5 f_{cd} \frac{ctg \vartheta}{1 + ctg^2 \vartheta}$$

Il taglio resistente sarà pari al minore tra VRsd e VRcd.





#### Quanto vale $\theta$ ?

Nella teoria del traliccio isostatico di Morsh,  $\theta = 45^{\circ}$  (quindi ctg $\theta = 1$ ). Questo modello, però, conduce ad eccessivi dimensionamenti dell'armatura trasversale.

Il modello va quindi perfezionato aggiungendo il contributo della resistenza a trazione del calcestruzzo (cfr. resistenza a taglio di elementi privi di specifica armatura, come i solai). Nella teoria del traliccio con puntone a inclinazione variabile tale contributo viene preso in considerazione diminuendo l'inclinazione  $\theta$  (cioè aumentando il valore di  $ctq\theta$ ).

La normativa vigente, tuttavia impedisce di utilizzare valori di θ inferiori a 21.8° (cioè valori di ctgθ superiori a 2,5).

Pertanto 
$$1 \le ctg\theta \le 2.5$$
 cioè  $21.8^{\circ} \le \theta \le 45^{\circ}$ 

Un criterio che si può adottare per determinare il valore di  $\theta$  con cui calcolare i tagli resistenti, è quello di uguagliare le due equazioni di VRsd e VRcd: si ottiene in questo modo l'inclinazione  $\theta$ eq delle bielle di calcestruzzo cui corrisponde il cedimento simultaneo delle bielle di calcestruzzo e delle staffe.

$$ctg\,\vartheta_{eq} = \sqrt{\frac{s \cdot b \,\, 0.5 f_{cd}}{A_{sw} \cdot f_{yd}} - 1}$$

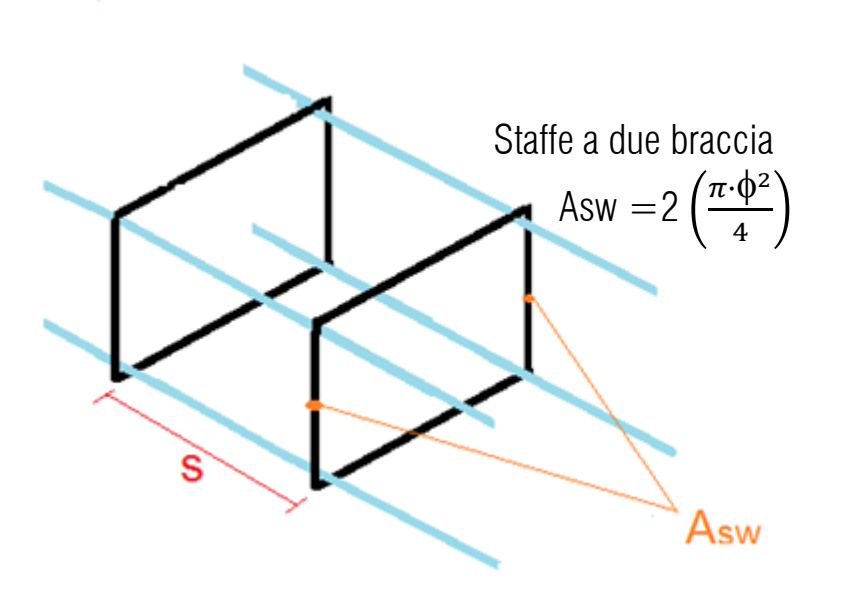
N.B. Se trovo ctg 
$$\theta_{eq}$$
 >2,5, allora prenderò ctg  $\theta$  = 2,5  
Se trovo 1\theta\_{eq} <2,5, allora prenderò ctg  $\theta$  = ctg  $\theta_{eq}$   
Se trovo ctg  $\theta_{eq}$  <1, allora prenderò ctg  $\theta$  = 1

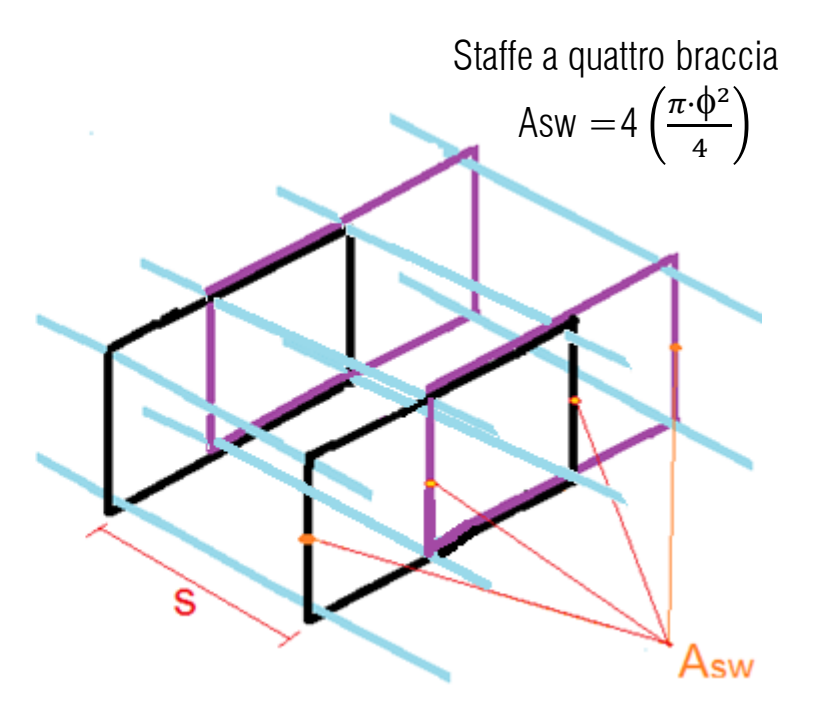




#### N.B. Asw è l'area dell'armatura trasversale di staffe

s è il passo delle staffe, b è la larghezza della trave





#### LIMITAZIONI NORMATIVE:

- 1) s < 500mm (cioè almeno tre staffe al metro)
- 2) s < 0.8 d (d altezza utile della sezione)
- 3)  $A_{sw}/s > 1.5 \text{ b mm}^2/\text{m}$  (b larghezza della sezione)

Oss. Solitamente, il passo delle staffe viene arrotondato per difetto ai 5 cm





Trave di spina TR 15-13 – ipotizzo staffe a 4 braccia  $\phi 8$  (Asw = 201,1 mm<sup>2</sup>)

Predimensiono l'armatura trasversale minima sulla base delle limitazioni normative: il passo s deve essere minore di 500mm (1) e di 0.8\*243=194.4mm (2), quindi scelgo s = 150 mm. Verifico che  $A_{sw}/s=201.1$  mm²/0,15m = 1340.4 mm²/m >1.5\*750=1125 mm²/m (3).

Se con questi parametri la verifica a taglio non risulta verificata in uno o più punti della trave, in quella zona rifarò la verifica riducendo il passo di 5 cm

	Staffe	A <sub>Sw</sub> [mm²]	s [mm]	$ctg  heta_{ea}$	ı ctg &	V <sub>Rsd</sub> [kN]	V <sub>Rcd</sub> [kN]	$egin{aligned} \mathbf{V_{Rd}} = \ & \min(\mathbf{V_{Rsd;}} \mathbf{V_{Rcd}}) \ & [\mathbf{kN}] \end{aligned}$	V <sub>Sd</sub> [kN]	V <sub>Rd</sub> ≥V <sub>Sd</sub>
APPOGGIO 1	ф8 a 4 braccia	201,1	150	3,02 > 2,5	2,5	286,6	400,7	286,6	148,6	<b>✓</b>
APPOGGIO 2a	ф8 a 4 braccia	201,1	150	3,02 > 2,5	2,5	286,6	400,7	286,6	217,9	<b>✓</b>
APPOGGIO 2b	ф8 a 4 braccia	201,1	150	3,02 > 2,5	2,5	286,6	400,7	286,6	187,3	<b>√</b>
APPOGGIO 3	ф8 a 4 braccia	201,1	150	3,02 > 2,5	2,5	286,6	400,7	286,6	174,9	✓



Trave di bordo TR\_23-20 – ipotizzo staffe a 2 braccia  $\phi$ 8 (Asw = 100,5 mm<sup>2</sup>)

Predimensiono l'armatura trasversale minima sulla base delle limitazioni normative: il passo s deve essere minore di 500mm (1) e di 0.8\*253=202.4mm (2), quindi scelgo s = 200 mm. Verifico che  $A_{sw}/s=100.5$  mm²/0,20m = 502.7 mm²/m >1.5\*300=450 mm²/m (3).

Se con questi parametri la verifica a taglio non risulta verificata in uno o più punti della trave, in quella zona rifarò la verifica riducendo il passo di 5 cm

	Staffe	ASw [mm2]	s [mm]	$ctgartheta_e$	q ctg&	VRsd [kN]	VRcd [kN]	V <sub>Rd</sub> = min(V <sub>Rsd;</sub> V <sub>Rcd</sub> ) [kN]	V <sub>Sd</sub> [kN]	V <sub>Rd</sub> ≥V <sub>Sd</sub>
APPOGGIO 1	ф8 a 2 braccia	100,5	200	3,13 > 2,5	2,5	111,9	166,9	111,9	49,7	<b>✓</b>
APPOGGIO 2a	ф8 a 2 braccia	100,5	200	3,13 > 2,5	2,5	111,9	166,9	111,9	72,9	<b>✓</b>
APPOGGIO 2b	ф8 a 2 braccia	100,5	200	3,13 > 2,5	2,5	111,9	166,9	111,9	62,7	✓
APPOGGIO 3	ф8 a 2 braccia	100,5	200	3,13 > 2,5	2,5	111,9	166,9	111,9	58,5	✓

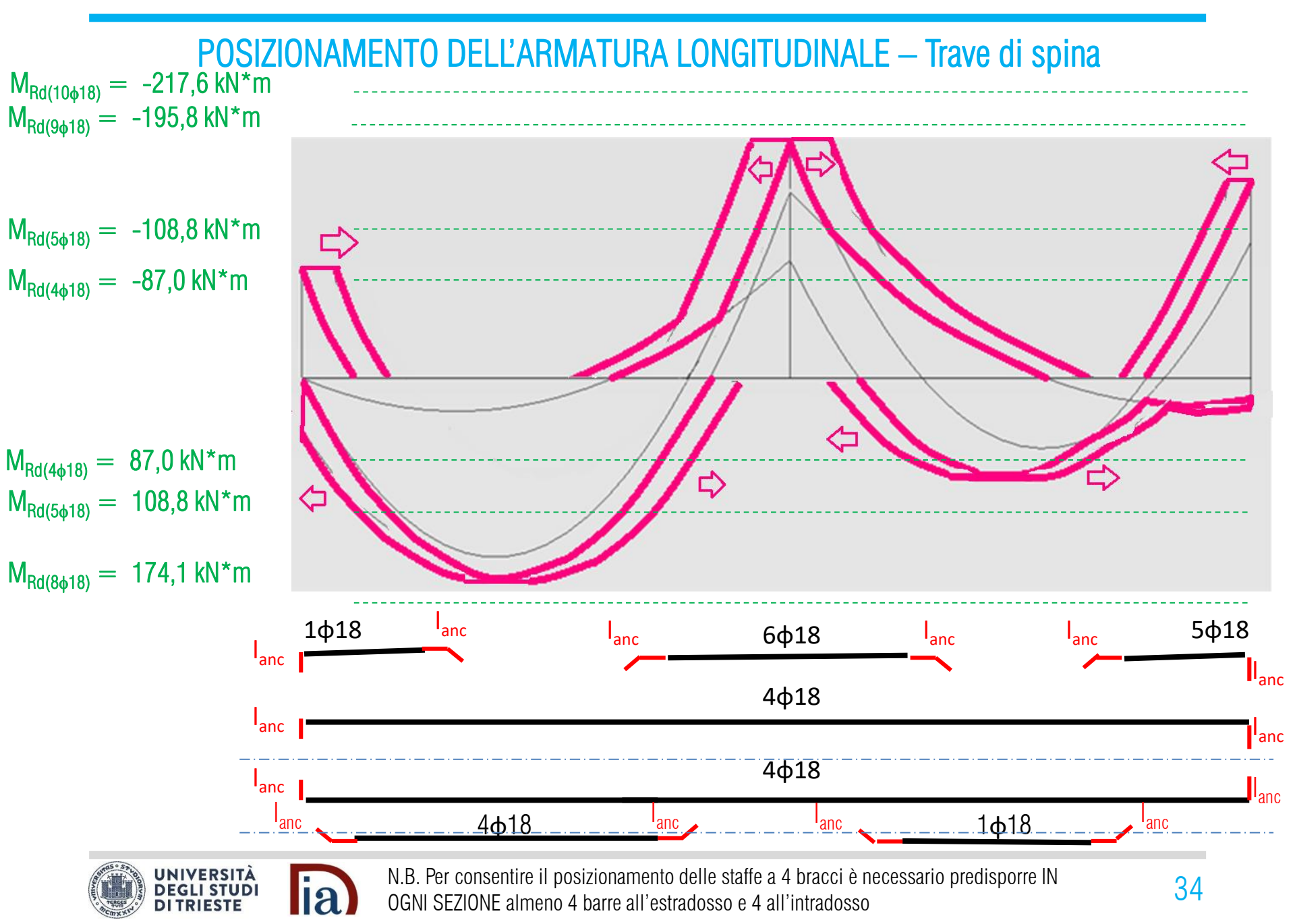




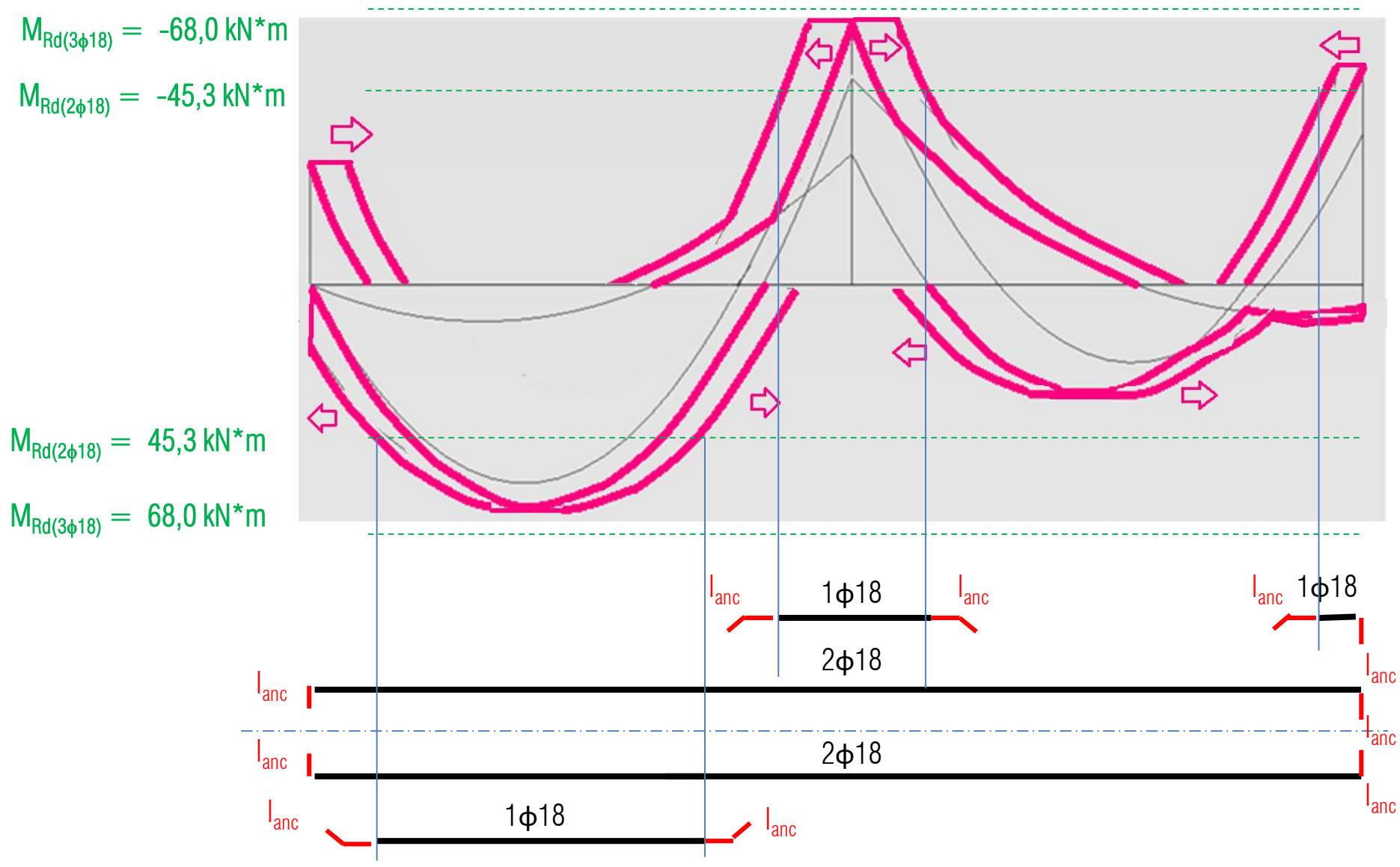
# POSIZIONAMENTO DELL'ARMATURA LONGITUDINALE – Trave di spina $M_{Rd(10\phi18)} = -217,6 \text{ kN*m}$ $M_{Rd(9\phi18)} = -195,8 \text{ kN*m}$ $M_{Rd(5\phi18)} = -108,8 \text{ kN*m}$ $M_{Rd(4\phi18)} = -87,0 \text{ kN*m}$ $M_{Rd(4\phi18)} = 87.0 \text{ kN*m}$ $M_{Rd(5\phi18)} = 108.8 \text{ kN*m}$ $M_{Rd(8\phi18)} = 174,1 \text{ kN*m}$ 5ф18 6ф18 lanc l<sub>anc</sub> 4ф18 4ф18 4ф18 1ф18 lanc







## POSIZIONAMENTO DELL'ARMATURA LONGITUDINALE — Trave di bordo





# POSIZIONAMENTO DELL'ARMATURA LONGITUDINALE – Trave di bordo

